

Die nächste Generation der BIA-Technologie

# InBody 970



## Die nächste Generation der BIA-Technologie

InBody entwickelt die Art und Weise der Körperzusammensetzungsanalyse kontinuierlich weiter und erweitert dabei die Anwendungsmöglichkeiten in verschiedenen Bereichen.

Mit dem Ziel, die zuverlässigste und innovativste Körperzusammensetzungsanalyse zu liefern, stellt InBody jetzt die nächste Generation der BIA-Technologie vor: den InBody 970.

Der InBody 970 ist mit modernster 3 MHz-Technologie und einem neuen ergonomischen Design ausgestattet. Damit ist er besser als je zuvor für verschiedene medizinische Fachgebiete und Patienten mit unterschiedlichen Erkrankungen geeignet.





Innovatives Design

Präzise 3 MHz-Messtechnologie von InBody

7 verschiedene Befundbögen für eine detaillierte Analyse

Smarte InBody-Messung

**InBody970**

# InBody 970 Highlights

## Innovatives Design

Der InBody 970 bietet einen neuen, nahtlosen Look mit der Prämisse der Detailgenauigkeit. Die konkave Gestaltung des Kopfes schützt die Privatsphäre der Testperson während der Messung und verbessert gleichzeitig die Sicht des Benutzers. Rostfreie Elektroden und ein verbessertes Fußpodest erhöhen die Leitfähigkeit und ermöglichen Gewichtsmessungen bis zu 300 kg.

## Die präzise 3 MHz-Messtechnologie von InBody

Je höher die Frequenz, desto schwieriger wird es, sie im menschlichen Körper zu kontrollieren, was unregelmäßige Impedanzmessungen zur Folge haben kann. Die InBody-Technologie hat diese Einschränkung überwunden, indem es ihr gelungen ist, die 3 MHz-Frequenz zu kontrollieren. Die 3 MHz-Frequenz kann die menschlichen Zellmembranen effektiver durchdringen und spiegelt daher das intrazelluläre Wasser im Vergleich zu niedrigeren Frequenzen besser wider. Dadurch können wir zwischen dem intrazellulären Wasser (IZW) und dem extrazellulären Wasser (EZW) unterscheiden, was zu einer genaueren Messung des Gesamtkörperwassers (GKW) führt.

## 7 verschiedene Befundbögen für eine tiefgehende Analyse

- Der Bewertungsbefundbogen kann eingesetzt werden, um die Messergebnisse altersspezifisch zu bewerten und mittels T- und Z-Score zu vergleichen.
- Der Forschungsbefundbogen liefert eine Übersicht häufig verwendeter Parameter, sowohl für den gesamten Körper als auch die einzelnen Körpersegmente.
- Der Vergleichsbefundbogen bietet ein Cole-Cole-Diagramm und kann eingesetzt werden, um die Ergebnisse zwischen zwei Messzeitpunkten zu überprüfen.
- Der Viszeralfettbefundbogen beinhaltet eine ausführliche Körperfettanalyse und kann zur Überwachung des subkutanen und viszeralen Fettbereichs verwendet werden.
- Der Körperzusammensetzungsbefundbogen, Körperwasserbefundbogen und Kinderbefundbogen sind ebenfalls verfügbar.

## Smarte InBody-Messung

Die ID-Erkennung kann schnell und einfach mit dem InBody BAND, Fingerabdruck oder Barcode-Scanner durchgeführt werden.



# InBody-Technologie

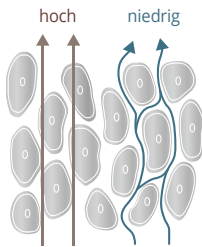


## Altersspezifische Bewertung der Körperzusammensetzung

InBody stellt für jeden Analyseparameter altersspezifische Diagramme auf der Basis global gesammelter InBody-Daten zur Verfügung. Damit steht Ihnen eine umfassende Analyse zur Verfügung, anhand der Sie Ihre Daten mit den Daten der jungen Altersgruppe (T-Score) und der gleichen Altersgruppe (Z-Score) vergleichen können.

## Hohe und niedrige Frequenzen für eine tiefgreifende Analyse

Niedrige Frequenzen können die Zellmembranen schlecht durchdringen und spiegeln somit primär das extrazelluläre Wasser wider. Hohe Frequenzen können die Zellmembranen besser durchdringen und daher sowohl das EZW als auch das IZW erfassen. Durch den Einsatz sowohl niedriger als auch hoher Frequenzen misst InBody das EZW und IZW separat. Auch das Gesamtkörperwasser wird dadurch genau erfasst, sodass der gesamte Wasserhaushalt überprüft werden kann. Als neuesten technologischen Fortschritt nutzt InBody die 3 MHz-Frequenz, welche eine präzise Messung eines breiteren Patientenspektrums ermöglicht. Darüber hinaus gewährleistet die Technologie auch die Messstabilität anderer Frequenzen, selbst wenn es äußere Störungen gibt.



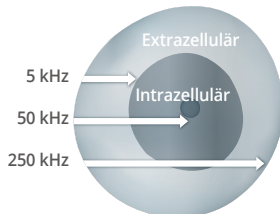
## Hohe Reproduzierbarkeit mittels 8-Punkt-Elektroden-Technologie

Am InBody 970 sind insgesamt acht Elektroden angebracht, jeweils eine Strom- und eine Spannungselektrode an jedem Griff und der Fußplatte. Diese tetrapolare 8-Punkt-Elektroden-Technologie inklusive Daumenelektroden ermöglicht eine exaktere Wiederholung der Messungen und schafft so eine verbesserte Genauigkeit und Reproduzierbarkeit der Ergebnisse.



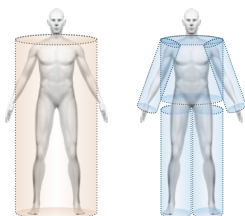
## Mehrfrequenz-Reaktanzen für den verbesserten klinischen Einsatz

Die Reaktanz spiegelt den Widerstand der Zellmembranen wider und hängt mit der zellulären Gesundheit zusammen. Sie hilft dabei, die Fähigkeit einer Zelle, Energie zu speichern, zu erfassen und ist ein indirektes Maß für die Zellstärke- und Integrität. Die Reaktanz ist ein vielversprechender Indikator, der in der klinischen Ernährung, Wiederbelebung und weiteren Bereichen eingesetzt wird. Neben den 50 kHz hat InBody ebenfalls die segmentale Reaktanz-Messtechnik bei 5 kHz und 250 kHz verbessert. Dadurch stellt InBody mehr Parameter zur Verfügung, die in verschiedenen klinischen Bereichen eingesetzt werden können.



## Direkt-segmentale Messung

Charakteristisch für die InBody-Technologie ist dessen direkt-segmentale Messung. Bei der direkt-segmentalen Messung wird der menschliche Körper in fünf Zylinder unterteilt (linker Arm, rechter Arm, linkes Bein, rechtes Bein und Rumpf) und die Impedanzen werden für alle fünf Körpersegmente gemessen. Basierend auf diesen Impedanzen wird die Körperzusammensetzung bestimmt. InBody misst jeden Zylinder separat, um genaue Werte für den gesamten Körper zu erhalten.



## Keine empirischen Schätzungen

Bei der InBody-Analyse werden keine empirischen Daten nach Alter, Geschlecht und Aktivitätsgrad verwendet, um die Körperzusammensetzung zu bestimmen. Nur für die Bewertung der ermittelten Werte, werden Referenzbereiche nach Alter und Geschlecht zugrunde gelegt.



# InBody-Anwendung



## Ernährung

Den Ernährungszustand beurteilen und wertvolle Veränderungen aufzeigen.

*Kim, H.S., Lee, E.S., Lee, Y.J., Jae Ho Lee, C. T.L., & Cho, Y.J (2015). Clinical Application of Bioelectrical Impedance Analysis and its Phase Angle For Nutritional Assessment of Critically Ill Patients. Journal of the Korean Society for Parenteral and Enteral Nutrition, 7 (2), 54-61.*

## Nephrologie

Wichtige Erkenntnisse über den Hydratations- und Ernährungszustand von Dialysepatienten gewinnen.

*Ando, M., Suminaka, T., Shimada, N., Asano, K., Ono, J. I., Jikuya, K., & Mochizuki, S. (2018). Body water balance in hemodialysis patients reflects nutritional, circulatory, and body fluid status. Journal of Biochemistry, 32 (2), 46-55.*

## Rehabilitation

Verletzungen und deren (postoperative) Genesung überwachen.

*Yoshimura, Y., Bise, T., Nagano, F., Shimazu, S., Shiraishi, A., Yamaga, M., & Koga, H. (2018). Systemic inflammation in the recovery stage of stroke: its association with sarcopenia and poor functional rehabilitation outcomes. Progress in Rehabilitation Medicine, 3, 20180011.*

## Leistungssport

Über die Körperzusammensetzung die Leistung steigern und das Verletzungsrisiko minimieren.

*Almăjan-Guță, B., Rusu, A. M., Nagel, A., & Avram, C. (2015). Injury frequency and body composition of elite Romanian rugby players. Timisoara Physical Education and Rehabilitation Journal, 8 (15), 17-21.*



## Geriatric

Die Skelettmuskelmass kontrollieren, muskuläre Dysbalancen erfassen und das Risiko für eine Sarkopenie vermindern.

*Yoshimura, Y., Wakabayashi, H., Bise, T., & Tanoue, M. (2018). Prevalence of sarcopenia and its association with activities of daily living and dysphagia in convalescent rehabilitation ward inpatients. Clinical Nutrition, 37 (6), 2022-2028.*

## Kardiologie

Frühzeitig die Risikofaktoren für Herz-Kreislauf-Erkrankungen erkennen.

*Thomas, E., Gupta, P. P., Fonarow, G. C., & Horwich, T. B. (2019). Bioelectrical impedance analysis of body composition and survival in patients with heart failure. Clinical cardiology, 42 (1), 129-135.*

# Über 4.000 Forschungsarbeiten inklusive Validierungsstudien

## Studie 1 HOHE GENAUIGKEIT UND REPRODUZIERBARKEIT BEI DER MESSUNG DER FETTFREIEN MASSE UND DES PROZENTUALEN KÖRPERFETTANTEILS IM VERGLEICH ZUR DXA

Die Messung (Mittelwert  $\pm$  SD) der FFM mit einer DXA lag bei  $52,8 \pm 11,0$  und mit einer BIA bei  $53,6 \pm 11,0$ . Delta (S-MFBIA vs. DXA) betrug  $0,8 \pm 2,2$  (5 % limits of agreement -3,5 bis +5,2) und der Konkordanz-Korrelationskoeffizient (CCC) betrug 0,98 (95 % CI, 0,97-0,98). Die Messungen (Mittelwert  $\pm$  SD) für den prozentualen Körperfettanteil mit einer DXA lagen bei  $37,5 \pm 10,6$  % und mit einer S-MFBIA bei  $36,6 \pm 11,3$  %. Delta (S-MFBIA vs. DXA) betrug  $-0,9 \pm 2,6$  (5 % limits of agreement 6,0 bis +4,2) und der CCC betrug 0,97 (95 %-KI, 0,96-0,98).

Hurt, Ryan T., et al. (2020). The Comparison of Segmental Multifrequency Bioelectrical Impedance Analysis and Dual-Energy X-ray Absorptiometry for Estimating Fat Free Mass and Percentage Body Fat in an Ambulatory Population. *Journal of Parenteral and Enteral Nutrition*.

## Studie 2 HOHE KORRELATION MIT DER D2O VERDÜNNUNGSMETHODE FÜR DAS GESAMTKÖRPERWASSER

Die Studie kam zu dem Schluss, dass der InBody im Vergleich zur D2O-Verdünnungsmethode eine gute Test-Retest-Präzision (% CV = 5,2 roh; 1,1 nach Entfernung von Ausreißern) und eine hohe Genauigkeit für das Gesamtkörperwasser (GKW) aufweist [GKWD20 = 0,956 GKWBIA,  $R^2 = 0,92$ , Root Mean Squared Error (RMSE) = 2,2kg]. Die prozentualen Körperfettwerte von DXA, ADP, D2O und BIA zeigten alle eine hohe Korrelation mit dem Lohman-Modell.

Ng, Bennett K., et al. (2018). Validation of rapid 4-component body composition assessment with the use of dual-energy X-ray absorptiometry and bioelectrical impedance analysis. *The American journal of clinical nutrition* 108 (4), 708-715.

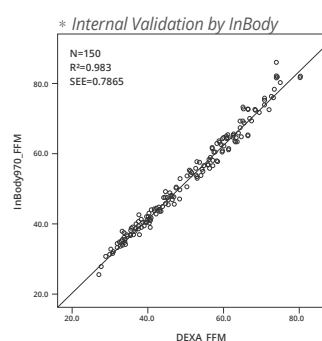
## Studie 3 HOHE ÜBEREINSTIMMUNG MIT DER MUSKELMASSE BEI DER COMPUTERTOMOGRAPHIE

Sowohl DXA als auch InBody zeigten bei der Bestimmung der Muskelmasse eine hohe Korrelation mit der Computertomographie (CT). Daraus wird geschlussfolgert, dass die Bestimmung der Muskelmasse mittels DXA und BIA (InBody) eine geeignete Methode zur Erfassung einer Sarkopenie bei Nierentransplantationspatienten ist.

Yanishi, M. et al. (2018). Dual energy X-ray absorptiometry and bioimpedance analysis are clinically useful for measuring muscle mass in kidney transplant recipients with sarcopenia. *Transplantation proceedings*, 50 (1). Elsevier

## Studie 4 HOHE KORRELATION DER FETTFREIEN MASSE ZWISCHEN DEXA UND INBODY 970

Insgesamt wurden 150 Ergebnisse analysiert. Die mit dem InBody 970 gemessene fettfreie Masse wies dabei eine sehr hohe Korrelation mit der fettfreien Masse einer DEXA auf ( $R^2 = 0,983$ ; P-Wert < 0,05).



\* Total: 150 Male: 74, Female: 76

FFM(kg)	Total	Male	Female
	Mean $\pm$ SD(range)	Mean $\pm$ SD(range)	Mean $\pm$ SD(range)
DEXA	49.09 $\pm$ 12.95(27.2-80.8)	59.49 $\pm$ 9.19(37.6-80.8)	38.97 $\pm$ 6.42(27.2-57.6)
InBody 970	50.92 $\pm$ 13.60(25.4-86.0)	61.77 $\pm$ 10.06(38.6-86.0)	40.35 $\pm$ 6.34(25.4-57.7)

# Körperzusammensetzungsanalyse

## InBody970 Körperzusammensetzung [InBody970]

ID	Größe	Alter	Geschlecht	Datum / Uhrzeit
Jane Doe	156.9cm	51	männl.	31.03.2021 15:44

### 1 Körperzusammensetzungsanalyse

	Werte	Gesamtkörperwasser	Weiche Magermasse	Fettfreie Masse	Gewicht
Gesamtkörperwasser (L)	27.4 (26.4 ~ 32.2)	27.4	34.9 (33.8 ~ 41.4)	37.1 (35.8 ~ 43.8)	59.1 (43.9 ~ 59.5)
Proteine (kg)	7.1 (7.0 ~ 8.6)	In Lösung			
Mineralien (kg)	2.64 (2.44 ~ 2.98)				
Körperfettmasse (kg)	22.0 (10.3 ~ 16.5)				

### 2 Muskel-Fett-Analyse

	Unter	Normal	Über
Gewicht (kg)	55 70 85 100 115 130 145 160 175 190 205 %	59.1	
SMM Skelettmuskelmasse (kg)	70 80 90 100 110 120 130 140 150 160 170 %	19.5	
Körperfettmasse (kg)	40 60 80 100 160 220 280 340 400 460 520 %	22.0	

### 3 Fettleibigkeitsanalyse

	Unter	Normal	Über
BMI (kg/m <sup>2</sup> )	10.0 15.0 18.5 22.0 25.0 30.0 35.0 40.0 45.0 50.0 55.0	24.0	
Körperfett (%)	8.0 13.0 18.0 23.0 28.0 33.0 38.0 43.0 48.0 53.0 58.0	37.2	

### 4 Segmentale Mageranalyse

	Unter	Normal	Über	EZW/GKW
Rechter Arm (kg)	55 70 85 100 115 130 145 160 175 %	2.00		0.378
(%)		101.2		
Linker Arm (kg)	55 70 85 100 115 130 145 160 175 %	1.91		0.378
(%)		97.1		
Rumpf (kg)	70 80 90 100 110 120 130 140 150 %	17.7		0.398
(%)		99.0		
Rechtes Bein (kg)	70 80 90 100 110 120 130 140 150 %	5.24		0.403
(%)		84.2		
Linkes Bein (kg)	70 80 90 100 110 120 130 140 150 %	5.15		0.404
(%)		82.7		

### 5 Körperwasseranalyse

	Unter	Normal	Über
EZW-Verhältnis	0.320 0.340 0.360 0.380 0.390 0.400 0.410 0.420 0.430 0.440 0.450	0.398	

### 6 Veränderung der Körperzusammensetzung

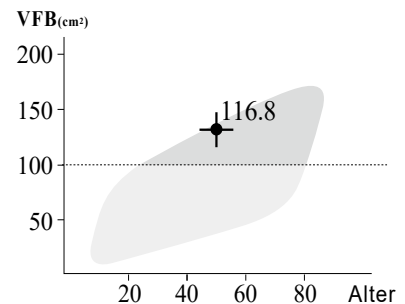
Gewicht (kg)	65.3	63.9	62.4	61.8	62.3	60.9	60.5	59.1
SMM Skelettmuskelmasse (kg)	20.1	20.0	19.7	19.7	19.8	19.7	19.8	19.5
Körperfett (%)	41.3	40.7	39.2	39.0	39.4	38.6	37.7	37.2
EZW/GKW-Verhältnis	0.399	0.398	0.396	0.396	0.397	0.396	0.398	0.398
Neueste Gesamt	20.07.21 15:11	20.08.27 14:58	20.09.20 15:02	20.11.23 15:23	20.12.21 15:00	21.02.19 14:52	21.03.20 15:12	21.03.31 15:44

### 7 Fitnessbewertung

67 / 100 Punkte

\* Die Punktzahl bewertet die Körperzusammensetzung. Eine muskulöse Person kann über 100 Punkte erhalten.

### 8 Viszeraler Fettbereich



### 9 Gewichtsempfehlung

Zielgewicht	51.7 kg
Gesamt +/-	-7.4 kg
Davon Fett	-10.1 kg
Davon Muskeln	+2.7 kg

### 10 Zusätzliche Daten

Intrazelluläres Wasser	16.5 L	(16.3~19.9)
Extrazelluläres Wasser	10.9 L	(10.0~12.2)
Grundumsatz	1171 kcal	(1255~1451)
Taille-Hüft-Verhältnis	0.94	(0.75~0.85)
Körperzellmasse	23.6 kg	(23.4~28.6)
SMI	5.8 kg/m <sup>2</sup>	

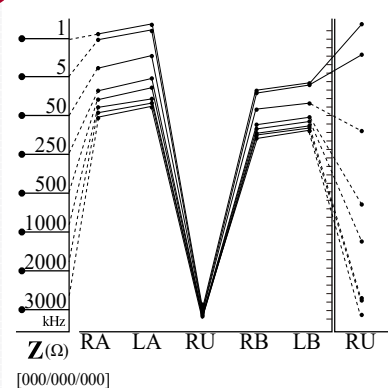
### 11 Phasenwinkel

$\phi$  (°) 50 kHz | 4.0°

### 12 Segmentaler Phasenwinkel

$\phi$ (°)	RA	LA	RU	RB	LB
5 kHz	1.7	4.7	1.7	1.6	4.5
50 kHz	4.1	5.7	4.0	3.8	4.3
250 kHz	3.8	5.6	2.9	2.9	2.9

### 13 Impedanzen



# Befundbogeninterpretation

## 1 Körperzusammensetzungsanalyse

Das Körpergewicht ist die Summe aus Gesamtkörperwasser, Proteinen, Mineralien und der Körperfettmasse. Erhalten Sie eine ausgeglichene Körperzusammensetzung aufrecht, um gesund zu bleiben.

## 2 Muskel-Fett-Analyse

Vergleichen Sie die Balkenlänge von Skelettmuskel- und Körperfettmasse. Je länger der Balken der Skelettmuskelmasse im Vergleich zum Körperfettmasse-Balken ist, desto positiver ist das Muskel-Fett-Verhältnis zu bewerten.

## 3 Fettleibigkeitsanalyse

Der BMI ist ein Index, der verwendet wird, um die Fettleibigkeit mit Hilfe der Größe und des Gewichtes festzustellen. Das prozentuale Körperfett gibt den Anteil der Fettmasse am Körpergewicht an.

## 4 Segmentale Mageranalyse

Beurteilt, ob die Muskeln angemessen in allen Körperteilen verteilt sind. Der obere Graph vergleicht die Muskelmasse (kg) mit dem Idealgewicht, während der untere Graph die Muskelmasse im Verhältnis zum aktuellen Körpergewicht prozentual einstuft.

## 5 Körperwasseranalyse

Das EZW-Verhältnis ist das Verhältnis des extrazellulären Wassers zum Gesamtkörperwasser und ein wichtiger Indikator für einen ausgeglichenen Wasserhaushalt. Über das EZW-Verhältnis können Wassereinlagerungen frühzeitig erfasst werden.

## 6 Veränderung der Körperzusammensetzung

Verfolgen Sie die Veränderung der Körperzusammensetzung. Führen Sie den InBody Check-Up in regelmäßigen Abständen durch, um Ihre Fortschritte zu überwachen.

## 7 Fitnessbewertung

Die Punktzahl bewertet die Körperzusammensetzung. Eine muskulöse Person kann über 100 Punkte erhalten.

## 8 Viszeraler Fettbereich

Der viszerale Fettbereich ist der geschätzte Fettbereich, welcher die inneren Organe in der Bauchhöhle umgibt. Ein gesunder viszeraler Fettbereich (unter 100cm<sup>2</sup>) verringert das Risiko für zahlreiche Zivilisationskrankheiten.

## 9 Gewichtsempfehlung

Sehen Sie Ihre Empfehlungen für eine ausgewogene Körperzusammensetzung anhand des empfohlenen Gewichts, der Muskel- und Körperfettmasse. Das '+' bedeutet Zunahme, das '-' bedeutet Abnahme.

## 10 Zusätzliche Daten

Beinhaltet weitere InBody-Parameter, wie das intra- und extrazelluläre Wasser, Grundumsatz, Taille-Hüft-Verhältnis, viszerales Fettlevel, Fettleibigkeitsgrad, SMI und mehr.

## 11 Phasenwinkel

Der Phasenwinkel gibt den Gesundheitszustand der Zellmembranen an. Er ist ein wichtiger Indikator, um den Ernährungszustand zu erfassen.

## 12 Segmentaler Phasenwinkel

Der segmentale Phasenwinkel gibt den Phasenwinkel jedes Körpersegments an und stellt den Grad der strukturellen Integrität und Funktion der Zellmembranen dar.

## 13 Impedanzen

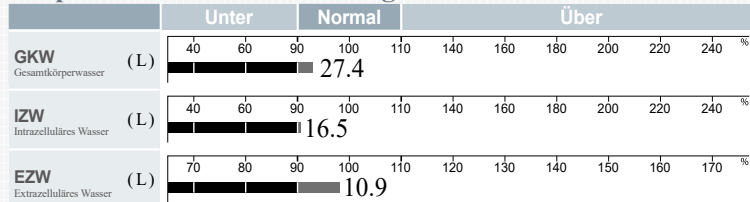
Die Impedanzen sind die gemessenen Widerstandswerte, wenn Strom durch den Körper fließt, und die Basis für alle InBody-Analysewerte.

# Körperwasserbefundbogen

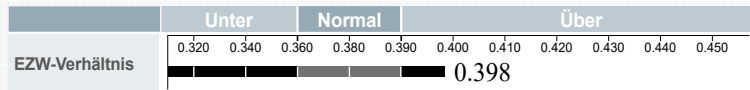
## InBody970 Körperwasserbefundbogen [InBody970]

ID: Jane Doe | Größe: 156.9cm | Alter: 51 | Geschlecht: weibl. | Datum / Uhrzeit: 31.03.2021 15:44

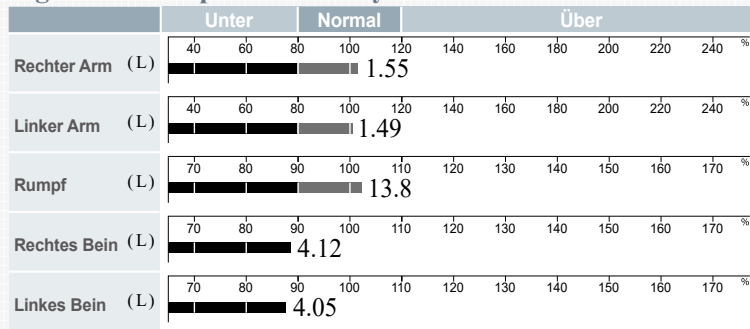
### Körperwasserzusammensetzung



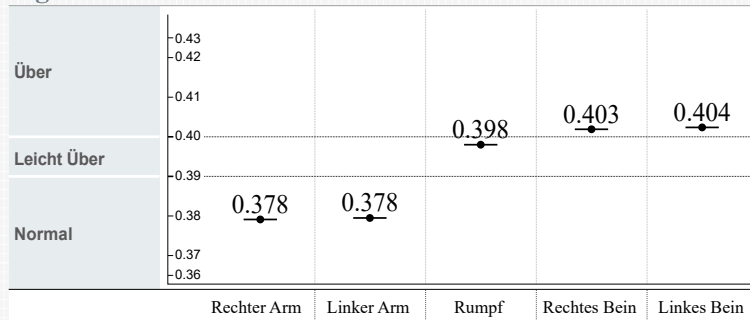
### EZW/GKW-Verhältnis



### Segmentale Körperwasseranalyse



### Segmentales EZW/GKW-Verhältnis



### Veränderung der Körperwasserzusammensetzung

	20.07.21 15:11	20.08.27 14:58	20.09.20 15:02	20.11.23 15:23	20.12.21 15:00	21.02.19 14:52	21.03.20 15:12	21.03.31 15:44
<b>Gewicht</b> (kg)	65.3	63.9	62.4	61.8	62.3	60.9	60.5	59.1
<b>GKW</b> (L) Gesamtkörperwasser	28.3	28.0	28.0	27.9	27.9	27.6	27.8	27.4
<b>IZW</b> (L) Intrazelluläres Wasser	17.0	16.9	16.9	16.8	16.8	16.7	16.7	16.5
<b>EZW</b> (L) Extrazelluläres Wasser	11.3	11.1	11.1	11.0	11.1	10.9	11.1	10.9
<b>EZW/GKW</b>	0.399	0.398	0.396	0.396	0.397	0.396	0.398	0.398

Neueste  Gesamt

### Körperzusammensetzungsanalyse

Proteine: 7.1 kg (7.0~8.6)  
 Mineralien: 2.64 kg (2.44~2.98)  
 Körperfettmasse: 22.0 kg (10.3~16.5)  
 Fettfreie Masse: 37.1 kg (35.8~43.8)  
 Knochenmineralgehalt: 2.18 kg (2.01~2.45)

### Muskel-Fett-Analyse

Gewicht: 59.1 kg (43.9~59.5)  
 Skelettmuskelmasse: 19.5 kg (19.5~23.9)  
 Weiche Magermasse: 34.9 kg (33.8~41.4)  
 Körperfettmasse: 22.0 kg (10.3~16.5)

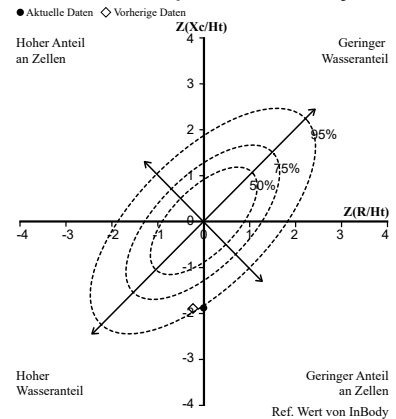
### Phasenwinkel

$\phi$  (°) 50 kHz | 4.0°

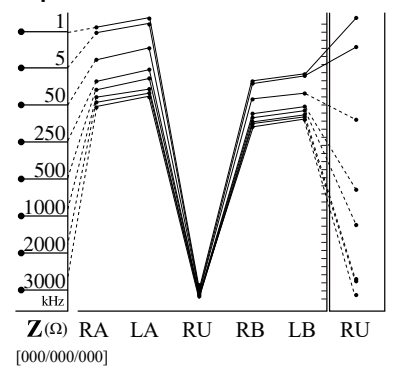
### Segmentaler Phasenwinkel

	RA	LA	RU	RB	LB
$\phi$ (°) 5 kHz	1.7	4.7	1.7	1.6	4.5
50 kHz	4.1	5.7	4.0	3.8	4.3
250 kHz	3.8	5.6	2.9	2.9	2.9

### Bioelektrische Impedanzvektoranalyse



### Impedanzen



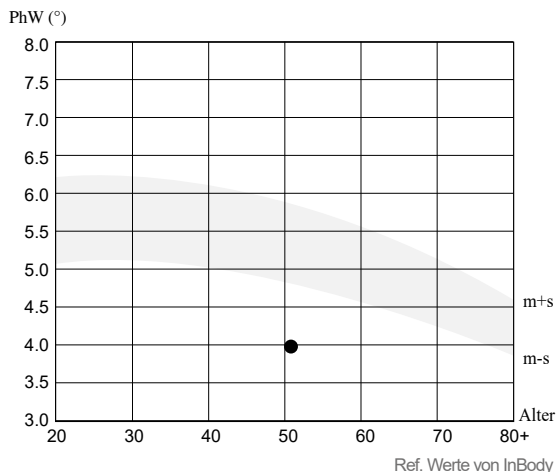
# Bewertungsbefundbogen

## InBody970 Bewertungsbefundbogen [InBody970]

ID: Jane Doe | Größe: 156.9cm | Alter: 51 | Geschlecht: weibl. | Datum / Uhrzeit: 31.03.2021 15:44

### Zellbewertung

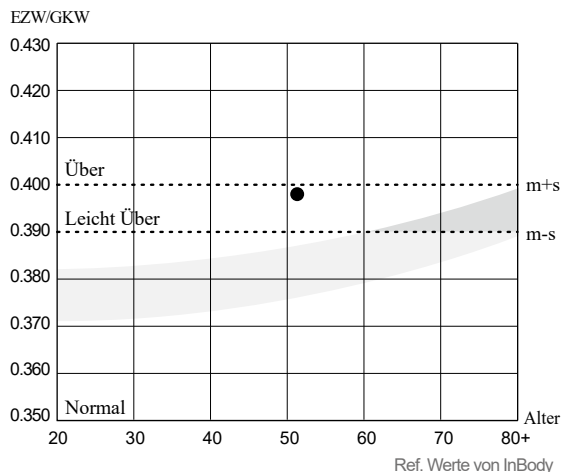
Phasenwinkel 50kHz



PhW (°)	junge Erwachsene (T-score)	altersentsprechend (Z-score)
4.0	-2.9	-2.4

### Körperwasserbewertung

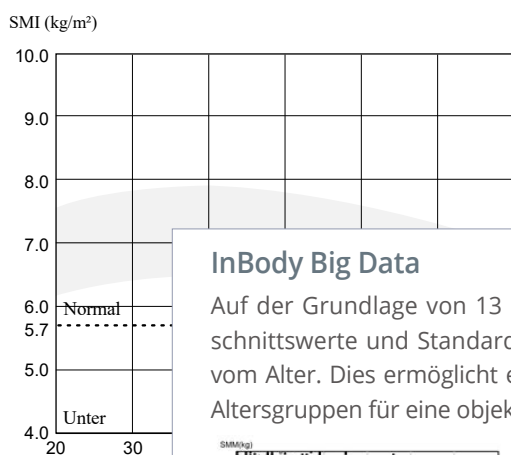
Ganzkörper-EZW-Verhältnis



EZW/GKW	junge Erwachsene (T-score)	altersentsprechend (Z-score)
0.398	3.9	2.8

### Muskel · Ernährungsbewertung

Skelettmuskel-Index

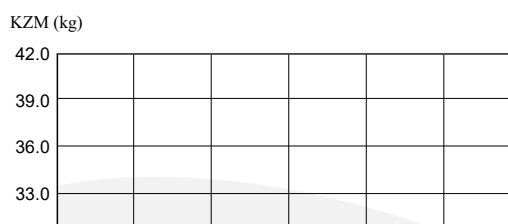


SMI (kg/m<sup>2</sup>)

5.8

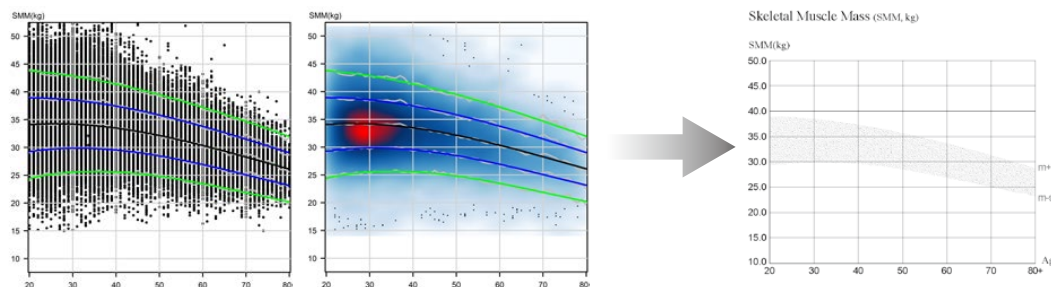
### Zusätzliche Daten

Körperzellmasse



### InBody Big Data

Auf der Grundlage von 13 Millionen Datensätzen von „InBody Big Data“ bietet InBody Durchschnittswerte und Standardabweichungsgrafiken für jeden Ergebnisparameter in Abhängigkeit vom Alter. Dies ermöglicht eine vergleichende Bewertung zwischen verschiedenen oder gleichen Altersgruppen für eine objektivere Analyse der Körperzusammensetzung.



„InBody Big Data“ wird für die altersspezifische Bewertung verwendet, welche als T-Score und Z-Score angezeigt wird. Diese Werte geben die relative Position der Person an. Dies hat keinen Einfluss auf die Körperzusammensetzungsergebnisse der gemessenen Person. Die grafische Darstellung erfolgt länderspezifisch.

# Forschungsbefundbogen

## InBody970 Forschungsbefundbogen [InBody970]

ID	Größe	Alter	Geschlecht	Datum / Uhrzeit
Jane Doe	156.9cm	51	weibl.	31.03.2021 15 : 44

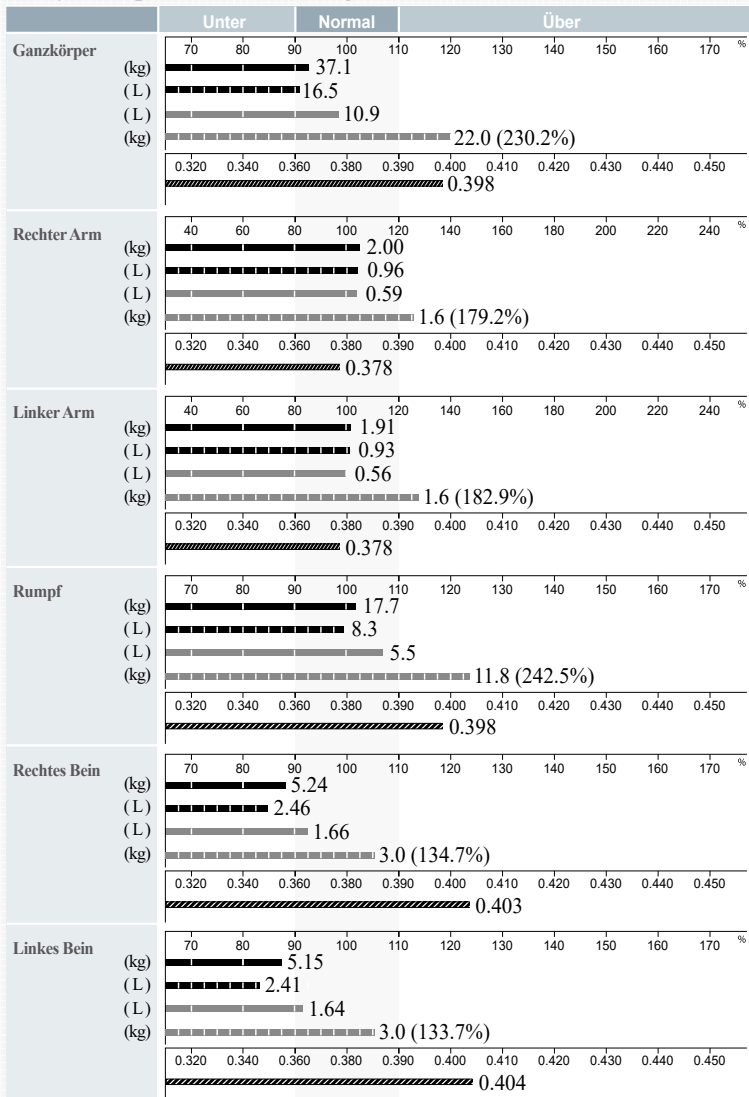
### Übersicht Körperzusammensetzung

	FFM	FM	IZW	EZW	GKW	EZW/GKW
Rechter Arm	2.00 kg	1.6 kg	0.96 L	0.59 L	1.55 L	0.378
Linker Arm	1.91 kg	1.6 kg	0.93 L	0.56 L	1.49 L	0.378
Rumpf	17.7 kg	11.8kg	8.3 L	5.5 L	13.8 L	0.398
Rechtes Bein	5.24 kg	3.0 kg	2.46 L	1.66 L	4.12 L	0.403
Linkes Bein	5.15 kg	3.0 kg	2.41 L	1.64 L	4.05 L	0.404
Ganzkörper	37.1 kg	22.0 kg	16.5 L	10.9 L	27.4 L	0.398
Gewicht	59.1 kg		* Die Differenz zwischen den Ganzkörperwerten und der Summe der segmentalen Werte basiert auf dem kraniozervikalen Bereich.			

### Zusätzliche Daten

BMI	24.0 kg/m <sup>2</sup> (18.5~25.0)
Körperfett	37.2% (18.0~28.0)
Skelettmuskelmasse	19.5 kg (19.5~23.9)
Weiche Magermasse	34.9 kg (33.8~41.4)
Proteine	7.1 kg (7.0~8.6)
Mineralien	2.64 kg (2.44~2.98)
Knochenmineralgehalt	2.18 kg (2.01~2.45)
Grundumsatz	1171 kcal (1255~1451)
Taille-Hüft-Verhältnis	0.94 (0.75~0.85)
Hüftumfang	85.0 cm
Viszeraler Fettbereich	116.8 cm <sup>2</sup>
Fettleibigkeitsgrad	114% (90~110)
Körperzellmasse	23.6 kg (23.4~28.6)
Armumfang	30.5 cm
Armmuskelumfang	26.0 cm
GKW/FFM	73.7%
FFMI	15.1 kg/m <sup>2</sup>
FMI	8.9 kg/m <sup>2</sup>
SMI	5.8 kg/m <sup>2</sup>

### Analyse Körperzusammensetzung



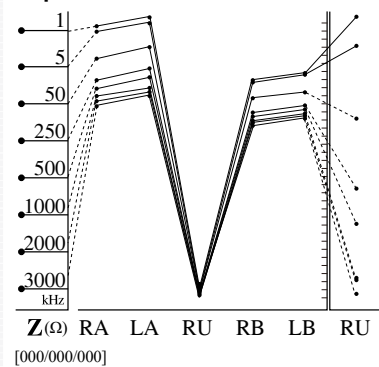
### Phasenwinkel

$\phi^{\circ}$  50 kHz | 4.0°

### Segmentaler Phasenwinkel

	RA	LA	RU	RB	LB
$\phi^{\circ}$ 5 kHz	1.7	4.7	1.7	1.6	4.5
50 kHz	4.1	5.7	4.0	3.8	4.3
250 kHz	3.8	5.6	2.9	2.9	2.9

### Impedanzen



# Vergleichsbefundbogen

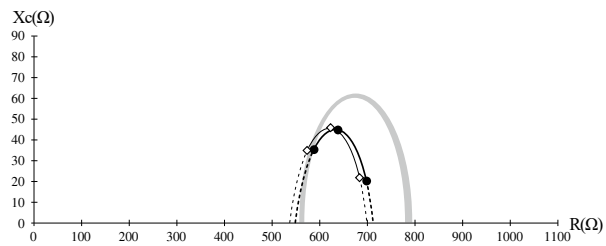
# InBody970

## Vergleichsbefundbogen [InBody970]

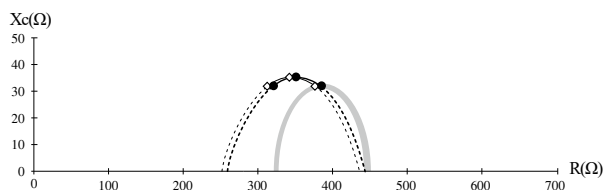
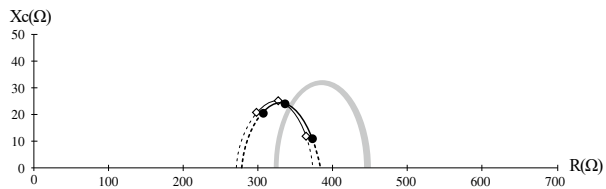
ID: Jane Doe | Größe: 156.9cm | Alter: 51 | Geschlecht: weibl. | Datum / Uhrzeit: 31.03.2021 15:44

— Standard-Median-Kurve    ● Aktuelle Ergebnisse    ◇ Letzte Ergebnisse  
(31.03.2021 15:44)

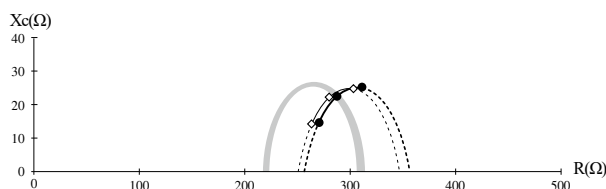
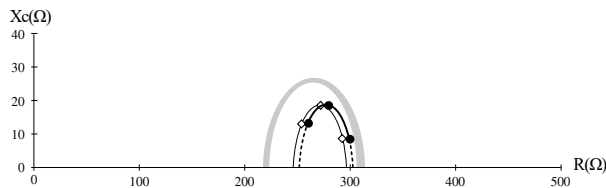
Ganzer Körper		Aktuell	Letzte	Differenz
Gewicht (kg)		59.1	60.5	-1.4
SMM (kg)	<small>Skelettmuskelmasse</small>	19.5	19.8	-0.3
Körperfettmasse (kg)		22.0	22.8	-0.8
EZW/GKW		0.398	0.398	0.000
Phasenwinkel (°)		4.0	4.1	-0.1



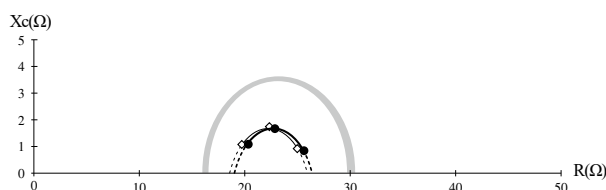
Rechter Arm		Aktuell	Letzte	Differenz
Magermasse (kg)		2.00	2.06	-0.06
EZW/GKW		0.378	0.378	0.000
Phasenwinkel (°)		4.1	4.3	-0.2
Linker Arm		Aktuell	Letzte	Differenz
Magermasse (kg)		1.91	1.98	-0.07
EZW/GKW		0.378	0.377	+0.001
Phasenwinkel (°)		5.7	5.7	0.0



Rechtes Bein		Aktuell	Letzte	Differenz
Magermasse (kg)		5.24	5.35	-0.11
EZW/GKW		0.403	0.403	0.000
Phasenwinkel (°)		3.8	3.8	0.0
Linkes Bein		Aktuell	Letzte	Differenz
Magermasse (kg)		5.15	5.26	-0.11
EZW/GKW		0.404	0.405	-0.001
Phasenwinkel (°)		4.3	4.3	0.0



Rumpf		Aktuell	Letzte	Differenz
Magermasse (kg)		17.7	18.0	-0.3
EZW/GKW		0.398	0.399	-0.00
Phasenwinkel (°)		4.0	4.1	-0.1



# Yscope

Tragbare Bauchfettanalyse

Abdominale Impedanzmessung



Taillenumfangmessung



## Strahlungsfrei und sicher für regelmäßige Messungen

Der Yscope bietet eine umfassende Bauchfettmessung, einschließlich Viszeralfett- und Subkutanfett-Messung. Es handelt sich dabei um die gleiche BIA-Technologie, die hinter den professionellen InBody-Geräten steht. Der Yscope stellt eine nicht-invasive, strahlungsfreie Lösung für die regelmäßige Kontrolle des Bauchfetts dar.

## Spezielle Bauchfettanalyse

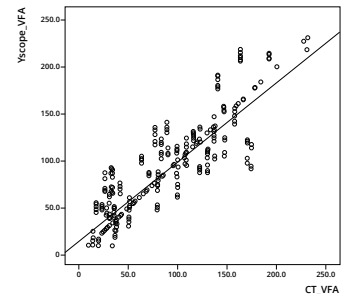
Neben der Körperfettanalyse der InBody-Geräte bietet der Yscope eine tiefgehende Analyse des Bauchfetts. Die Messungen des viszeralen Fettes und des subkutanen Fettes mit dem Yscope weisen eine hohe Korrelation zu CT-Ergebnissen auf.

## Einfache und schnelle Messung

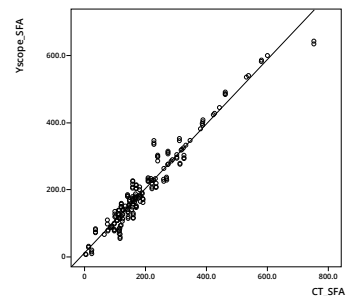
Der Yscope ist ein tragbares Gerät zur Bauchfettanalyse, welches in die Messung mit dem InBody 970 integriert werden kann. In etwa 10 Sekunden bietet der Yscope eine schnelle und einfache Lösung für die Bestimmung wesentlicher Parameter des abdominalen Bereiches.



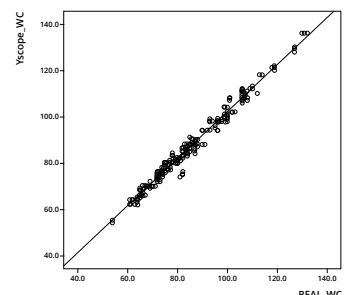
Yscope(970)  $\propto$  CT: VFA  $R^2 = 0.862$



Yscope(970)  $\propto$  CT: SFA  $R^2 = 0.967$



Yscope(970)  $\propto$  Tape measure: WC  $R^2 = 0.982$



\* Wenn der Yscope nicht angeschlossen ist, kann das Ergebnis abweichen.

# Viszeralfettbefundbogen

## InBody970

## Viszeralfettbefundbogen

[InBody970] [Yscope]

ID	Größe	Alter	Geschlecht	Datum/ Uhrzeit
Jane Doe	156.9cm	51	weibl.	31.03.2021 15:44

### Körperfettzusammensetzung

	Werte	Abdominale Fettmasse	Fettmasse Rumpf	Körperfettmasse	Gewicht
Subkutanes Fett (kg)	1.58 (0.90 ~ 1.81)	2.64 (1.35 ~ 2.71)	11.8 ( 3.9 ~ 7.8 )	22.0 (10.3 ~ 16.5)	59.1 (43.9 ~ 59.5)
Viszerales Fett (kg)	1.06 (0.45 ~ 0.90)				
Nicht-Abdominales Fett					
Arm-/Beinfett (kg)	9.1 ( 4.9 ~ 9.9 )				
Fettfreie Masse (kg)	37.1 (35.8 ~ 43.8)				

\* Die Differenz zwischen den Ganzkörperwerten und der Summe der segmentalen Werte basiert auf dem kraniozervikalen Bereich.

### Körperfettanalyse

	Unter	Normal	Über
Gewicht (kg)	55 70 85 100 115 130 145 160 175 190 205 %	59.1	
Körperfettmasse (kg)	40 60 80 100 160 220 280 340 400 460 520 %	22.0	
BMI (kg/m <sup>2</sup> )	10.0 15.0 18.5 22.0 25.0 30.0 35.0 40.0 45.0 50.0 55.0	24.0	
Körperfett (%)	8.0 13.0 18.0 23.0 28.0 33.0 38.0 43.0 48.0 53.0 58.0	37.2	

### Abdominale Fettanalyse

	Unter	Normal	Über
Abdominales Fett(kg)	40.0 60.0 80.0 100.0 160.0 220.0 280.0 340.0 400.0 460.0 520.0 %	2.64	
Subkutanes Fett (kg)	40.0 60.0 80.0 100.0 160.0 220.0 280.0 340.0 400.0 460.0 520.0 %	1.58	
Viszerales Fett (kg)	40.0 60.0 80.0 100.0 160.0 220.0 280.0 340.0 400.0 460.0 520.0 %	1.06	

### Abdominale Adipositasanalyse

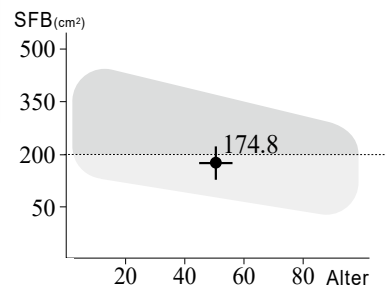
	Unter	Normal	Über
Taille-Hüft-Verhältnis	0.65 0.70 0.75 0.80 0.85 0.90 0.95 1.00 1.05 1.10 1.15	0.94	
V/S Verhältnis	Subkutanes Fett-Adipositas		Viszerales Fett-Adipositas
Viszerales/Subkutanes Fett-Verhältnis	0.10 0.20 0.30 0.40 0.50 0.60 0.70	0.67	

### Körperfettverlauf

	20.07.21 15:11	20.08.27 14:58	20.09.20 15:02	20.11.23 15:23	20.12.21 15:00	21.02.19 14:52	21.03.20 15:12	21.03.31 15:44
Gewicht (kg)	65.3	63.9	62.4	61.8	62.3	60.9	60.5	59.1
Körperfettmasse (kg)	27.0	26.0	24.5	24.1	24.5	23.5	22.9	22.0
Abdominales Fett(kg)	3.24	3.12	2.94	2.89	2.95	2.82	2.75	2.64
Subkutanes Fett (kg)	1.94	1.87	1.76	1.73	1.76	1.69	1.64	1.58
Viszerales Fett (kg)	1.30	1.25	1.18	1.16	1.18	1.13	1.10	1.06

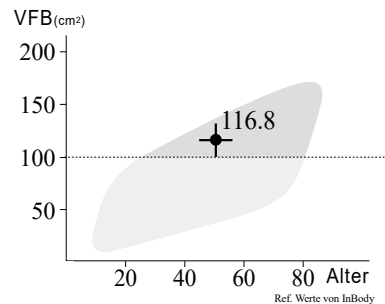
Neueste  Gesamt

### Subkutaner Fettbereich



Ref. Matsushita et al, Diabetology&Metabolic Syngrom 2014, 6:11  
Nakajima T. et al, Gastroenterology and Hepatology Research 2012, 1:11

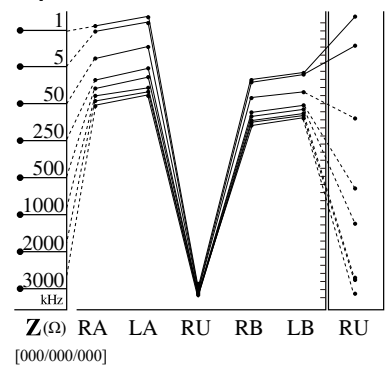
### Viszeraler Fettbereich



### Zusätzliche Daten

Hüftumfang	85.0 cm
Fettleibigkeitsgrad	114 % ( 90~110 )
Taille-Hüft-Verhältnis	0.54 ( 0.51 Unter )
Körper-Adipositas-Index	28.1 ( 26.9 Unter )
ABSI	0.081 (0.076 Unter )
Konizitätsindex	1.27 ( 1.25 Unter )
Grundumsatz	1171 kcal ( 1255~1451 )
EZW-Verhältnis	0.398 (0.360~0.400)
SMI	5.8 kg/m <sup>2</sup>
FMI	8.9 kg/m <sup>2</sup>
Magermasse/Viszeraler Fettbereich	0.17 kg/m <sup>2</sup> ( 0.15 Über )

### Impedanzen



# Kinderbefundbogen

# InBody970

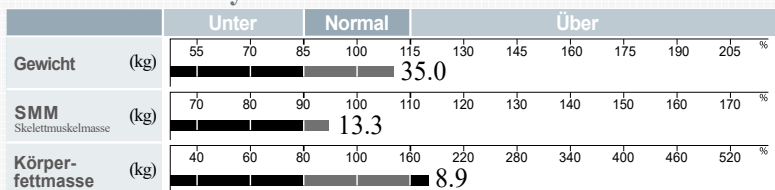
## Kinderbefundbogen [InBody970]

ID	Größe	Alter	Geschlecht	Datum / Uhrzeit
John Doe	139.4cm	10	männl.	31.03.2021 16:40

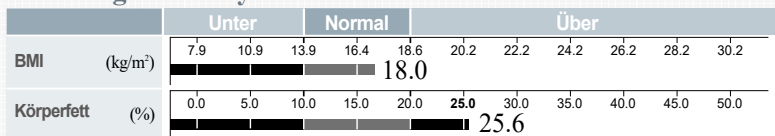
### Körperzusammensetzungsanalyse

Wassermenge in meinem Körper	Gesamtkörperwasser (L)	19.1 ( 18.0 ~ 22.0 )
Was ich für den Muskelaufbau benötige	Proteine (kg)	5.1 ( 4.9 ~ 5.9 )
Was ich für starke Knochen benötige	Mineralien (kg)	1.91 ( 1.66 ~ 2.04 )
Wo meine Energie gespeichert ist	Körperfettmasse (kg)	8.9 ( 3.8 ~ 7.7 )
Gesamt	Gewicht (kg)	35.0 ( 27.3 ~ 36.9 )

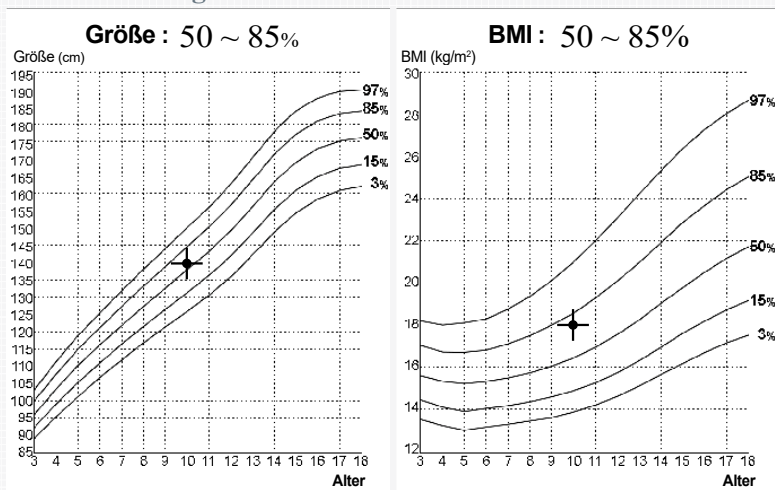
### Muskel-Fett-Analyse



### Fettleibigkeitsanalyse



### Wachstumsdiagramm



### Veränderung der Körperzusammensetzung

	19.07.15	19.11.19	20.01.29	20.03.15	20.06.21	20.09.19	20.12.20	21.03.31
Größe (cm)	134.5	135.2	136.4	137.2	137.9	138.5	139.0	139.4
Gewicht (kg)	30.8	31.3	32.0	32.8	33.5	34.0	34.4	35.0
SMM Skelettmuskelmasse (kg)	12.5	12.7	12.8	13.0	13.1	13.1	13.2	13.3
Körperfett (%)	20.4	20.7	21.6	22.3	23.1	24.3	25.1	25.6

Letzte  Gesamt

### Wachstumspunkte

**85** / 100 Punkte

\*Bei großen muskulösen Personen kann der Wert der Wachstumspunkte 100 übersteigen.

### Ernährungsbewertung

- Proteine  Normal  Unter  
 Mineralien  Normal  Unter  
 Körperfett  Normal  Unter  Übermäßig

### Fettleibigkeitsanalyse

- BMI  Normal  Unter  Leicht Über  Über  
 Körperfett (%)  Normal  Leicht Über  Über

### Ausgeglichenheit des Körperbaus

- Ober  Balanciert   
 Unter  Balanciert   
 Ober-Unter  Balanciert

### Segmentale Mageranalyse

- Rechter Arm 0.95 kg  
 Linker Arm 0.94 kg  
 Rumpf 10.8 kg  
 Rechtes Bein 3.41 kg  
 Linkes Bein 3.37 kg

### Zusätzliche Daten

- Grundumsatz 933 kcal ( 948 ~ 1077 )  
 Fettleibigkeitsgrad 109 % ( 90 ~ 110 )

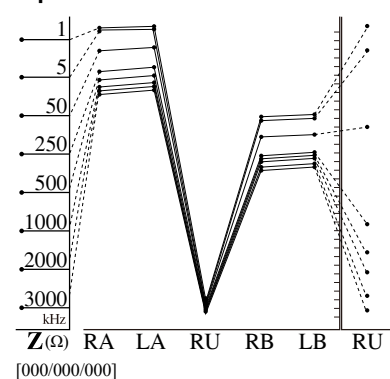
### Phasenwinkel

$\phi$  (°) 50 kHz | 4.3°

### Segmentaler Phasenwinkel

$\phi$ (°)	RA	LA	RU	RB	LB
5 kHz	1.4	1.4	3.0	1.9	1.8
50 kHz	3.6	3.3	6.8	5.0	4.8
250 kHz	3.7	3.6	9.4	5.0	4.9

### Impedanzen



# InBody Gesundheits-Check-Up



1  
SCHRITT

## Blutdruckmessung

Starten Sie die Blutdruckmessung mit dem BPBIO 750 und Ihr Messergebnis wird automatisch an den InBody übertragen.



2  
SCHRITT

## Größenmessung

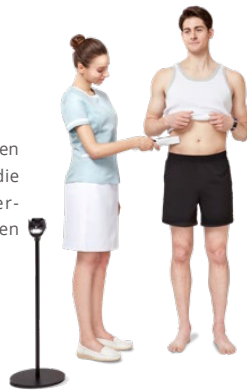
Messen Sie Ihre Körpergröße mit dem BSM. Für eine präzise InBody-Messung ist eine exakte Größenmessung essenziell.



3  
SCHRITT

## Yscope-Messung

Ziehen Sie am Hebel und legen Sie die Elektroden an, um die Impedanz zu messen. Verwenden Sie das Rad, um den Taillenumfang zu ermitteln.



4  
SCHRITT

## Mitglieder-Identifikation

Identifizieren Sie Ihre Mitglieder mit dem InBody BAND, Fingerabdruck- oder Barcode-Scanner.



5  
SCHRITT

## InBody-Messung

Stellen Sie sich auf die Fußplatte des InBody 970 und führen Sie die InBody-Messung durch. Der InBody führt Sie durch den Messvorgang.



6  
SCHRITT

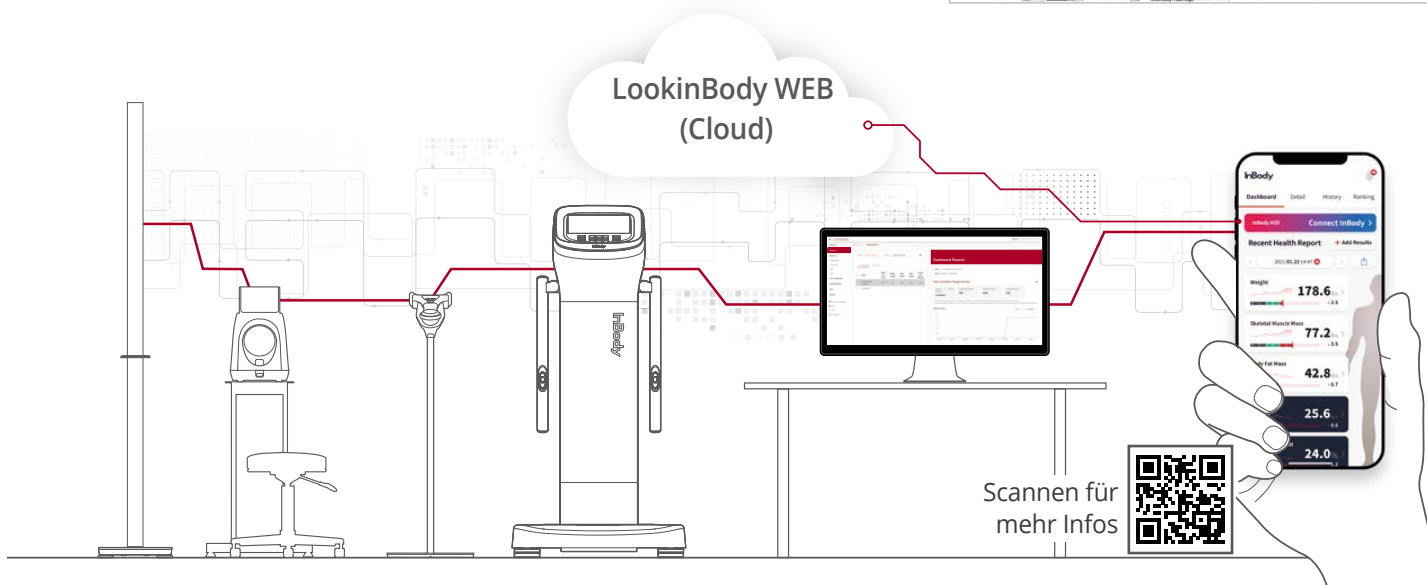
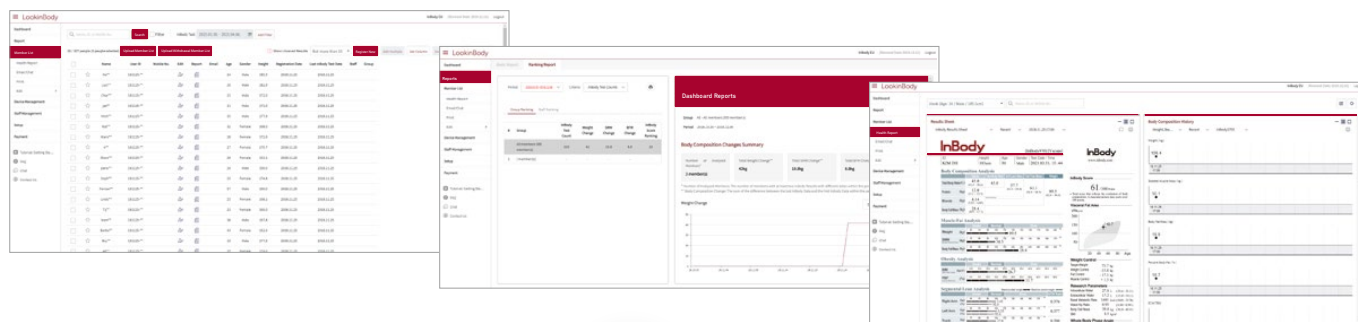
## Ergebnis abrufen

Erhalten Sie ein umfassendes Messergebnis auf einer Seite veranschaulicht und lassen Sie sich vom Fachpersonal beraten.

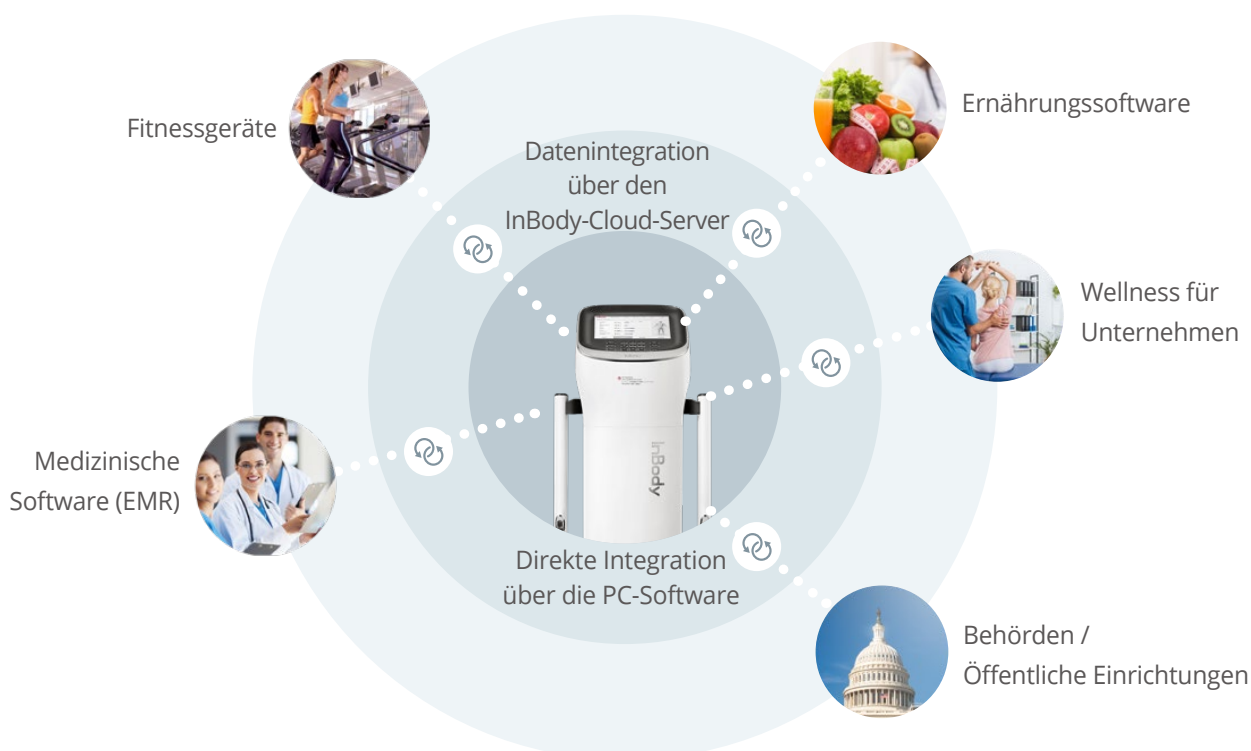


# Datenverwaltung

LookinBody Web ermöglicht es Ihnen, die InBody-Daten über die Cloud einzusehen und bietet ein Dashboard, um die Ergebnisse zu analysieren und mit anderen zu vergleichen.

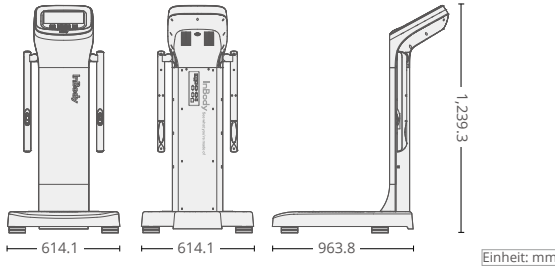


# InBody-Integrationslösung



# Technische Daten

## InBody 970 Körperzusammensetzungsanalyse



Mess-Elemente der bioelektrischen Impedanzanalyse (BIA)	Bioelektrische Impedanz (Z)	40 Impedanzmessungen mit 8 unterschiedlichen Frequenzen (1kHz, 5kHz, 50kHz, 250kHz, 500kHz, 1MHz, 2MHz, 3MHz) an jedem der 5 Segmente (rechter Arm, linker Arm, Rumpf, rechtes Bein und linkes Bein)
	Reaktanz (Xc)	15 Impedanzmessungen mit 3 unterschiedlichen Frequenzen (5kHz, 50kHz, 250kHz) an jedem der 5 Segmente (rechter Arm, linker Arm, Rumpf, rechtes Bein und linkes Bein)
Elektrodensystem	Tetrapolare 8-Elektrodenmessung mit Daumen-Elektroden	
Messmethode	Direkt-segmentale Mehrfrequenzen, Bioelektrische Impedanzanalyse (DSM-BIA-Methode) Simultane Mehrfrequenz-Impedanzmessung (SMFIM)	
Berechnungsmethode der Körperzusammensetzung	In die reine Ermittlung der Messergebnisse fließen die Angaben über Alter und Geschlecht nicht ein. Diese Werte dienen lediglich der Einstufung (Bewertung) der ermittelten Ergebnisse.	
Optionales Zubehör	Stadiometer, Blutdruckmessgerät, Yscope, InBodyBAND2 von InBody	
Kundenlogo	Der Kundennaame, die Kundenanschrift und weitere Kundeninformationen können auf dem InBody-Befundbogen dargestellt werden.	
Digitale Auswertung	LCD-Display, Datenverwaltungssoftware LookinBody120	
Befundbogen-Varianten	IKörperwasserzusammensetzungsbefundbogen, Kinderbefundbogen, Körperwasserbefundbogen, Bewertungsbefundbogen, Vergleichsbefundbogen, Forschungsbefundbogen, Viszeralfettbefundbogen	
Sprachführung	Sprachansagen für laufende und abgeschlossene Messungen, sowie akustische Signale für erfolgreich abgespeicherte Einstellungsänderungen.	
Datenbank	Die Messergebnisse können gespeichert werden, wenn eine ID eingegeben wurde. Der InBody kann bis zu 100.000 Messergebnisse speichern.	
Administrator-Menü	Einstellungen; Konfigurieren der Einstellungen und Verwalten der Messdaten, FAQ; Zusätzliche Informationen zur Unterstützung bei der Verwendung des InBody970.	
USB-Speicherstick	Kopieren, Sichern oder Wiederherstellen der InBody-Messdaten. Die Messdaten können in Excel oder der Datenverwaltungssoftware LookinBody120 angezeigt werden.	
Barcode-Scanner	Die Benutzer-ID wird automatisch erfasst, wenn die Barcode-ID gescannt wird.	
InBodyBAND2-Erkennung	Erkennung des InBodyBAND2 der messenden Person: Die persönlichen Daten werden automatisch in den InBody 970 übertragen.	
Fingerabdrucks-erkennung	Erkennung des Fingerabdrucks der messenden Person: Die persönlichen Daten werden automatisch in den InBody 970 übertragen.	
Datensicherung	Eine Datensicherung der InBody-Messdaten kann auf einem USB-Stick gespeichert werden. Aus der Datensicherung können die gespeicherten Messdaten auf dem InBody wiederhergestellt werden oder auch mit den vorhandenen Messdaten am InBody kombiniert werden.	
QR Code	Durch das Scannen des QR-Codes werden die Ergebnisse der InBody-Messung an die Website für das Ergebnismanagement gesendet.	
Angewandte Stromstärke	1kHz: 70uA (+10uA), Über 5kHz: 300uA (+30uA)	
Netzteil	Bridgepower (BPM040S12F07)	Eingangsleistung AC 100-240V, 50-60Hz, 1.2A (1.2A-0.6A) Ausgangsleistung DC 12V, 3.4A
	Mean Well (GSM40A12-P11R)	Eingangsleistung AC 100-240V, 50-60Hz, 1.0-0.5A Ausgangsleistung DC 12V, 3.34A
Bildschirm	1280 x 800 10,12 Zoll Farbdisplay TFT LCD	
Interne Schnittstellen	Touchscreen, Tastatur, Bluetooth 2.1, Bluetooth 4.2	
Externe Schnittstellen	4x RS-232C, 2x USB HOST, 1x USB SLAVE, LAN(10/100T) 1EA, Bluetooth 1EA, Wi-Fi 1EA	
Kompatibler Drucker	Laser- / Tintenstrahldrucker (von InBody empfohlene Drucker) * Eine Auflistung von kompatiblen Druckern für den InBody970, finden Sie unter <a href="https://www.inbody.com">https://www.inbody.com</a>	
Abmessungen	614.1(W) x 963.8(L) x 1239.3(H): mm	
Gewicht	46kg (101.4lb)	
Messdauer	ca. 70 Sekunden	
Betriebsbedingungen	10-40°C (50-104°F), 30-75% r.F., 70-106kPa	
Lagerbedingungen	-10-70°C (14-158°F), 10-80% r.F., 50-106kPa (keine Kondensation)	
Gewichtsbereich	5-300kg (11-660.1lb)	
Altersbereich	3-99 Jahre	
Körpergrößenbereich	95-220cm (3ft 1.40in - 7ft 2.61in)	

InBody Befundbogen	<p>Ergebnisse und Auswertungen</p> <ul style="list-style-type: none"> <li>Körperzusammensetzungsanalyse (Gesamtkörperwasser, Proteine, Mineralien, Körperfettmasse, Weiche Magermasse, Fettfreie Masse, Körpergewicht)</li> <li>Muskel-Fett-Analyse (Körpergewicht, Skelettmuskelmasse, Körperfettmasse)</li> <li>Fettleibigkeitsanalyse (Body-Mass-Index, Prozentuales Körperfett)</li> <li>Segmentale Mageranalyse (Basierend auf dem Idealgewicht / Aktuellem Körpergewicht: rechter Arm, linker Arm, Rumpf, rechtes Bein, linkes Bein)</li> <li>Segmentale Fettanalyse (Basierend auf dem Idealgewicht / Aktuellem Körpergewicht: rechter Arm, linker Arm, Rumpf, rechtes Bein, linkes Bein)</li> <li>Segmentale IZW-Analyse (Basierend auf dem Idealgewicht / Aktuellem Körpergewicht: rechter Arm, linker Arm, Rumpf, rechtes Bein, linkes Bein)</li> <li>Segmentale EZW-Analyse (Basierend auf dem Idealgewicht / Aktuellem Körpergewicht: rechter Arm, linker Arm, Rumpf, rechtes Bein, linkes Bein)</li> <li>Körperwasseranalyse (EZW/GKW-Verhältnis)</li> </ul>	<ul style="list-style-type: none"> <li>Veränderung der Körperzusammensetzung (Körpergewicht, Skelettmuskelmasse, Prozentuales Körperfett, EZW/GKW-Verhältnis)</li> <li>Fitnessbewertung</li> <li>Viszeraler Fettbereich (Grafik)</li> <li>Gewichtskontrolle (Zielgewicht, Gewichtskontrolle, Fett-Kontrolle, Muskel-Kontrolle) (Grafik)</li> <li>Ernährungsbewertung (Proteine, Mineralien, Körperfett)</li> <li>Fettleibigkeitsanalyse (BMI, Prozentuales Körperfett)</li> <li>Ausgeglichenheit des Körperbaus (oben, unten, oben/unten)</li> <li>Taille-Hüft-Verhältnis (Grafik)</li> <li>viszeraler Fett-Level (Grafik)</li> </ul>
--------------------	---	---

Kinderbefundbogen	<p>Ergebnisse und Auswertungen</p> <ul style="list-style-type: none"> <li>Körperzusammensetzungsanalyse (Gesamtkörperwasser, Proteine, Weiche Magermasse, Mineralien, Fettfreie Masse, Körperfettmasse, Körpergewicht)</li> <li>Muskel-Fett-Analyse (Körpergewicht, Skelettmuskelmasse, Körperfettmasse)</li> <li>Fettleibigkeitsanalyse (Body-Mass-Index, Prozentuales Körperfett)</li> <li>Wachstumsgrafik (Körpergröße, Körpergewicht, BMI)</li> <li>Veränderung der Körperzusammensetzung (Körpergröße, Körpergewicht, Skelettmuskelmasse, Prozentuales Körperfett)</li> <li>Fitnessbewertung</li> <li>Ernährungsbewertung (Proteine, Mineralien, Körperfett)</li> <li>Fettleibigkeitsanalyse (BMI, Prozentuales Körperfett)</li> <li>Ausgeglichenheit des Körperbaus (oben, unten, oben/unten)</li> </ul>	<ul style="list-style-type: none"> <li>Segmentale Mageranalyse (rechter Arm, linker Arm, Rumpf, rechtes Bein, linkes Bein)</li> <li>Segmentale Körperwasseranalyse (rechter Arm, linker Arm, Rumpf, rechtes Bein, linkes Bein)</li> <li>Zusätzliche Parameter (Intrazelluläres Wasser, Extrazelluläres Wasser, Skelettmuskelmasse, Grundumsatz, Fettleibigkeitsgrad (Kind), Knochenmineralgehalt, Fettmasse-Index, Körperzellmasse, Fettfreie Masse-Index)</li> <li>Blutdruck (systolisch, diastolisch, mittlerer arterieller Druck, Pulsdruck, Druckprodukt)</li> <li>QR-Code</li> <li>Segmentaler Phasenwinkel (5kHz, 50kHz, 250kHz: rechter Arm, linker Arm, Rumpf, rechtes Bein, linkes Bein)</li> <li>Ganzkörper-Phasenwinkel (50kHz: rechte Körperhälfte)</li> <li>Impedanz (Diagramm jedes Segments und jeder Frequenz)</li> </ul>
-------------------	--	---

Körperwasser-befundbogen	<p>Ergebnisse und Auswertungen</p> <ul style="list-style-type: none"> <li>Körperwasserzusammensetzung (Gesamtkörperwasser, Intrazelluläres Wasser, Extrazelluläres Wasser)</li> <li>Körperwasseranalyse (EZW/GKW-Verhältnis)</li> <li>Segmentale Körperwasseranalyse (rechter Arm, linker Arm, Rumpf, rechtes Bein, linkes Bein)</li> <li>Segmentale IZW-Analyse (rechter Arm, linker Arm, Rumpf, rechtes Bein, linkes Bein)</li> <li>Segmentale EZW-Analyse (rechter Arm, linker Arm, Rumpf, rechtes Bein, linkes Bein)</li> <li>Veränderung der Körperwasserzusammensetzung (Körpergewicht, Gesamtkörperwasser, Intrazelluläres Wasser, Extrazelluläres Wasser, EZW/GKW-Verhältnis)</li> <li>Körperzusammensetzungsanalyse (Proteine, Mineralien, Körperfettmasse, Fettfreie Masse, Knochenmineralgehalt)</li> </ul>	<ul style="list-style-type: none"> <li>Muskel-Fett-Analyse (Körpergewicht, Skelettmuskelmasse, Weiche Magermasse, Körperfettmasse)</li> <li>Fettleibigkeitsanalyse (BMI, Prozentuales Körperfett)</li> <li>Zusätzliche Parameter (Grundumsatz, Taille-Hüft-Verhältnis, Taillenumfang, Viszeraler Fettbereich, Viszeraler Fett-Level, Fettleibigkeitsgrad, Körperzellmasse, Armmumfang, Arm-Muskelumfang, GKW/FFM (Verhältnis von Gesamtkörperwasser zu fettfreier Masse), Fettmasse-Index, Fettfreie Masse-Index, SMI, Extrazelluläre Masse/Körperzellmasse, Gesamtkörperwasser/Körpergewicht, Skelettmuskelmasse/Körpergewicht)</li> <li>Blutdruck (systolisch, diastolisch, mittlerer arterieller Druck, Pulsdruck, Druckprodukt)</li> <li>QR-Code für die Ergebnisauswertung</li> <li>QR-Code</li> <li>Segmentaler Phasenwinkel (5kHz, 50kHz, 250kHz: rechter Arm, linker Arm, Rumpf, rechtes Bein, linkes Bein)</li> <li>Ganzkörper-Phasenwinkel (50kHz: rechte Körperhälfte)</li> <li>Impedanz (Diagramm jedes Segments und jeder Frequenz)</li> </ul>
--------------------------	--	---

Bewertungs-befundbogen	<p>Ergebnisse und Auswertungen</p> <ul style="list-style-type: none"> <li>Skelettmuskelmassenindex: (T-score, Z-score)</li> <li>Ganzkörper-EZW/GKW-Verhältnis: (T-score, Z-score)</li> <li>Viszeraler Fettbereich: (T-score, Z-score)</li> <li>Body-Mass-Index: (T-score, Z-score)</li> </ul>	
------------------------	---	--

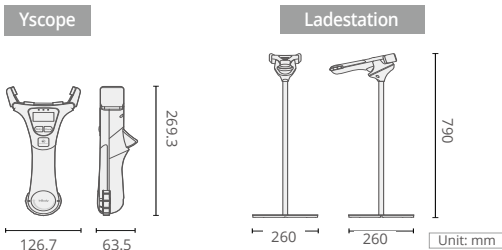
Vergleichs-befundbogen	<p>Ergebnisse und Auswertungen</p> <ul style="list-style-type: none"> <li>Körpergewicht, Skelettmuskelmasse, Körperfettmasse, EZW/GKW-Verhältnis, Phasenwinkel: Ganzer Körper (Heutige Ergebnisse, Kürzliche Ergebnisse, Differenz)</li> <li>Fettfreie Masse, EZW/GKW-Verhältnis, Phasenwinkel: rechter Arm, linker Arm, Rumpf, rechtes Bein, linkes Bein (Heutige Ergebnisse, Kürzliche Ergebnisse, Differenz)</li> <li>Ganzer Körper, Cole-Cole-Diagramm ganzer Körper und segmental (Heutige Ergebnisse, Kürzliche Ergebnisse)</li> </ul>	
------------------------	--	--

Forschungs-befundbogen	<p>Ergebnisse und Auswertungen</p> <ul style="list-style-type: none"> <li>Zusammenfassung der Körperzusammensetzung (weiche Magermasse, Körperfettmasse, Intrazelluläres Wasser, Extrazelluläres Wasser, Gesamtkörperwasser, EZW/GKW-Verhältnis, Körpergewicht)</li> <li>Körper (Heutige Ergebnisse, Kürzliche Ergebnisse, Differenz): Bewertung von Ganzer Körper, rechter Arm, linker Arm, Rumpf, rechtes Bein, linkes Bein</li> <li>Zusätzliche Parameter (BMI, Prozentuales Körperfett, Taille-Hüft-Verhältnis, Viszeraler Fettbereich, Fettleibigkeitsgrad, Taillenumfang, Fettmasse-Index, Skelettmuskelmasse, Weiche Magermasse, Fettfreie Masse-Index, SMI, Proteine, Körperzellmasse, Mineralien, Knochenmineralgehalt, Grundumsatz, Armmumfang, Arm-Muskelumfang, GKW/FFM (Verhältnis von Gesamtkörperwasser zu fettfreier Masse))</li> <li>Segmentaler Phasenwinkel (5kHz, 50kHz, 250kHz: rechter Arm, linker Arm, Rumpf, rechtes Bein, linkes Bein)</li> <li>Ganzkörper-Phasenwinkel (50kHz: rechte Körperhälfte)</li> <li>Impedanz (Diagramm jedes Segments und jeder Frequenz)</li> </ul>	
------------------------	---	--

Viszeralfett-befundbogen	<p>Ergebnisse und Auswertungen</p> <ul style="list-style-type: none"> <li>Körperfettzusammensetzung (Subkutanes Fett, Viszerales Fett, Arme / Beine Fett, fettfreie Masse, Bauchfettmasse, Rumpf Fettmasse, Körperfettmasse, Körpergewicht)</li> <li>Körperfettanalyse (Körpergewicht, Körperfettmasse, BMI, Prozentuales Körperfett)</li> <li>Abdominale Fettanalyse (Abdominales Fett, Subkutanes Fett, Viszerales Fett)</li> <li>Analyse der abdominalen Fettleibigkeit (Taille-Hüft-Verhältnis) / Verhältnis viszeraler / subkutaner Fettbereich</li> </ul>	<ul style="list-style-type: none"> <li>Subkutaner Fettbereich</li> <li>Viszeraler Fettbereich</li> <li>Veränderung des Körperfetts (Körpergewicht, Körperfettmasse, Abdominales Fett, Subkutanes Fett, Viszerales Fett)</li> <li>Forschungsparameter (Taillenumfang, Fettleibigkeitsgrad, Taille-Hüft-Verhältnis, Adipositas-Index, Konizität-Index, Grundumsatz, EZW/GKW-Verhältnis, SMI, Fettmasse-Index, Skelettmuskelmasse / Viszeralfett-Index)</li> <li>Impedanz (Diagramm jedes Segments und jeder Frequenz)</li> </ul>
--------------------------	---	--

Mess-Elemente der bioelektrischen Impedanzanalyse (BIA)	2 Impedanzmessungen bei 2 Frequenzen (50 kHz, 250 kHz)
Elektrodensystem	Bipolare 4-Punkt-Tastelektroden
Messmethode	Direkt-segmentale Mehrfrequenzen, Bioelektrische Impedanzanalyse (DSM-BIA-Methode)
Berechnungsmethode der Körperzusammensetzung	In die reine Ermittlung der Messergebnisse fließen die Angaben über Alter und Geschlecht nicht ein. Diese Werte dienen lediglich der Einstufung (Bewertung) der ermittelten Ergebnisse.
Messergebnisse	Bauchumfang, Viszeraler Fettbereich, Subkutaner Fettbereich
Stromstärke	350uA
Eingangsleistung	DC 3.63V, 2600mAh (Lithium-Ionen-Batterie)
Ladespannung	DC 5.0V
Bildschirm	OLED
Farbe	Weiß
Abmessungen	Yscope (126.7(B) x 269.3(L) x 63.5(H) : mm) Ladestation (260(W) x 260(L) x 790(H) : mm)
Gewicht	Yscope 0.3kg(0.7lb), Ladestation 2.5kg(5.5lb)
Messdauer	über 5 Sekunden
Betriebsbedingungen	10-40°C (50-104°F), 30-75% RH, 70-106kPa
Lagerbedingungen	-10-70°C(14-158°F), 10-80% RH, 50-106kPa (keine Kondensation)
Altersbereich	3-99 Jahre

## Yscope Bauchfettanalyse



\* Die technischen Daten können sich ohne vorherige Ankündigung ändern.  
\* QR Code ist eine eingetragene Marke von DENSO WAVE INCORPORATED.



**InBody**  
Erfolge werden sichtbar.



**Zertifizierungen von InBody**

InBody erfüllt das Qualitätsmanagementsystem nach internationalen Standards. Es werden länderspezifische behördliche Anforderungen in Bezug auf Produktsicherheit und -leistung erfüllt und damit verbundene Dienstleistungen angeboten.



**InBody's geistige Eigentumsrechte**

InBody besitzt Patente und geistige Eigentumsrechte auf der ganzen Welt und bietet Produkte mit hoher Genauigkeit und Reproduzierbarkeit an, die auf dieser Technologie basieren.



Vertrieb für die ganze Schweiz:

best **4** health

best4health gmbh Grindelstrasse 12  
CH-8303 Bassersdorf

Tel. +41 44 500 31 80  
mail@best4health.ch / www.best4health.ch